## 九州大学学術情報リポジトリ Kyushu University Institutional Repository

# 粘流體中に於ける剛體の衝突について

栖原, 豊太郎 九州帝國大學流體工學研究所

https://doi.org/10.15017/7153224

出版情報:流體工學研究所報告. 3 (3), pp.1-7, 1947-12-01. Research Institute for Fluid

Engineering, Kyushu Imperial University バージョン:

イーション 権利関係:

## 粘流體中に於ける剛體の衝突について

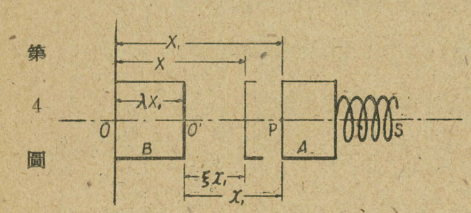
栖 原 豊 太 郎

#### 1. 目 的

機械機構の中には互に衝撃運動をするものが種々ある。Lift Valve と瓣坐はその代表的の例であり、一般の Cam と Follower、歯車の嚙合など相互間に遊隙のある限り衝撃接觸をする。而してそれ等の衝撃面の間には通常粘流體があるが、殊に流體機械では衝撃運動が流體中で行はれてゐる場合が多い。何れの場合でも衝撃體の接觸面間に於る流體は著しい緩衝作用をしてゐるので、この緩衝作用が機構の運動に與へる影響を調べるのが本論の目的である。接觸面の間の流體が空氣の場合にはこの問題は彈性體の衝撃問題となすべきである。然し本論ではそれが水或は油類の場合を考へ機構部材を剛體として取扱ふことにする。

#### 2. 運動方程式

粘流體の中で、第1圖のやうに、質量mの剛體Aが發條Sで推されPO線上を進



行して固定剛體 Bに衝突する場合の運動式を求める。 發條の張力は P點が假に O點迄來たとすると零になるとし、A はその途中 O' 點で B に衝突し發條になほ或る張力を残したま、で靜止するものとする。 こくに A と B との衝突面は何

A の運動に對する抵抗としては、速度に比例する部分 c(X)、その二乘に比例する部分  $c_2X^2$ 、及び A と B とが接近するに從ひその間隙に起る流體壓力のための抵抗 R の三項を探る

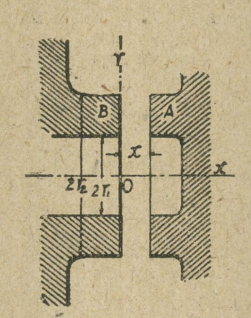
以上の關係により A の運動方程式を書くと  $m\ddot{X}+c_1\ddot{X}+c_2\ddot{X}^2+R+kX=0.$  (1)

上式に於て、Aの行程は固定體 Bのために當然一回限りとなり、 $c_2$  は負値だけをとる。(1)式を解くためには先づRの性質を決定しなければならないが、これを一般的に決定することは困難であるから次の樣な近似らしき方法を試みる。

#### 3. 抵抗Rの決定

A が B に接近すると粘流體はその間隙から排除されるため大きな抵抗を生ずる。 この流動は勿論動的問題であるが實際上 R 項が强く影響して來るのは間隙が小さく なり、A の速度が小さくなり、主として粘性が作用するときであるから、これを定常 問題として取扱ひ R の性質を調べることにする。

一の實例として流體機械の環狀平面坐瓣がその坐に衝突する場合をとり 瓣と 瓣坐 との間に挟まれた流體の運動を解析して見る。



粘流體の定常運動方程式及び連續式を,第2圖のやうに, x 軸に對稱なる圓柱坐標に就て表はし慣性項及び體力項を省くと

$$\frac{\partial p}{\partial r} = \mu \left\{ \frac{\partial^2 u}{\partial r^2} + \frac{\partial u}{r \partial r} - \frac{u}{r^2} + \frac{\partial^2 u}{\partial z^2} \right\}, \tag{2}$$

$$\frac{\partial p}{\partial x} = \mu \left\{ \frac{\partial^2 w}{\partial r^2} + \frac{\partial w}{r \partial r} + \frac{\partial^2 w}{\partial z^2} \right\}.$$

但しp は壓力、u 及び w はr 及び x 方向の速度、 $\mu$  は粘性係數である。 A と B とが接觸する直前 x=b のとき A の瞬間速度が  $w_b$  で減速運動をしてゐると云ふ代りに、x=b のとき A の速度は定常的に  $w_b$  であると見做し (2) に對する條件を

とすると(2)の解は

$$u = -\pi w_{b} \sum_{n} \frac{Y_{0}(m_{n}r_{2})J_{1}(m_{n}r) - J_{0}(m_{n}r_{2})Y_{1}(m_{n}r)}{1 + \{J_{0}(m_{n}r_{2})/J_{0}(m_{n}r_{1})\}} \times \frac{m_{n}(b-x)\sinh m_{n}b \cdot \sinh m_{n}x + m_{n}^{2}bx \cdot \sinh m_{n}(b-x)}{\sinh^{2}m_{n}b - m_{n}^{2}b^{2}},$$

$$w = \pi w_{b} \sum_{n} \frac{Y_{0}(m_{n}r_{2})J_{0}(m_{n}r) - J_{0}(m_{n}r_{2})Y_{0}(m_{n}r)}{1 + \{J_{0}(m_{n}r_{2})/J_{0}(m_{n}r_{1})\}} \times \frac{\{(\sinh m_{n}b + m_{n}b \cosh m_{n}b)\sinh m_{n}x - m_{n}^{2}bx \cosh m_{n}(b+x) - m_{n}x \sinh m_{n}b \cosh m_{n}x - m_{n}^{2}b}{\sinh^{2}m_{n}b - m_{n}^{2}b},$$

$$\phi = -2\pi\mu w_{b} \sum_{n} \frac{Y_{0}(m_{n}r_{2})J_{0}(m_{n}r) - J_{0}(m_{n}r_{2})Y_{0}(m_{n}r)}{1 + \{J_{0}(m_{n}r_{2})/J_{0}(m_{n}r_{1})\}} \times \frac{m_{n}^{2}b \cosh m_{n}(b-x) + m_{n}\sinh m_{n}b \cosh m_{n}x}{\sinh^{2}m_{n}b - m_{n}^{2}b^{2}}.$$

$$(4)$$

但し $m_1, m_2, \cdots m_n$  ・・・ は次の式の根を示す

$$Y_0(mr_2)J_0(mr_1)-J_0(mr_2)Y_0(mr_1)=0.$$

然し以上の式は到底實用計算には適しないが間隙 b を甚だ小さいと考へると (4) は次のやうに簡易な式となる. 即ち

$$u = 3 \left\{ \frac{r_2^2 - r_1^2}{2r \lg(r_2/r_1)} - r \right\} \frac{x(b-x)}{b^3} w_b,$$

$$w = \frac{x^2(3b-2x)}{b^3} w_b,$$

$$p = \frac{3\mu}{b^3} \left\{ \frac{r_2^2 - r_1^2}{\lg(r_2/r_1)} \left( \lg r - \frac{1}{2} \lg r_1 r_2 \right) + \frac{1}{2} (r_2^2 + r_1^2) - r^2 \right\} w_b$$
(5)

從つて瓣 A に對する總壓力は

$$\int_{0}^{2\pi} \int_{r_{1}}^{r_{2}} pr dr d\theta = \frac{3\pi\mu w_{b}}{2b^{3}} \left\{ r_{2}^{4} - r_{1}^{4} - \frac{(r_{2}^{2} - r_{1}^{2})^{2}}{lg(r_{2}/r_{1})} \right\}$$

故に(1)式のRは

$$R = \text{const} \frac{\mu w_b}{b^3}$$

$$= \frac{a\dot{X}}{(X - \lambda X_1)^3} \quad (第 2 節 \sigma 記號にて)$$

$$a = \frac{3}{2} \pi \mu \left\{ r_2^4 - r_1^4 - \frac{(\tilde{r}_2^2 - r_1^2)^2}{l\sigma(r_0/r_1)} \right\}.$$
(6)

但儿

また 1=0 のときは

$$a = \frac{3}{2} \pi \mu \gamma_2^4.$$

### 4. 運動方程式の解

(1)と(6)とから運動方程式は

$$m\ddot{X} + c_1\dot{X} + c_2\dot{X}^2 + \frac{a\dot{X}}{(X - \lambda X_1)^3} + kX = 0.$$
 (7)

上の式で  $x_1\xi = X - \lambda X_1$ ,  $x_1 = X_1 - \lambda X_1$ ,  $(0 < \xi < 1)$ ,  $T_S = \pi \sqrt{m/k}$ ,  $T_S \tau = t$ , (第1圖)

$$v = \frac{d\xi}{d\tau} = \dot{\xi}, \qquad \dot{X} = \frac{x_1}{T_S} \dot{\xi} = \frac{x_1 v}{T_S}, \qquad \varkappa = \frac{kT_S^2}{m} = \pi^2,$$

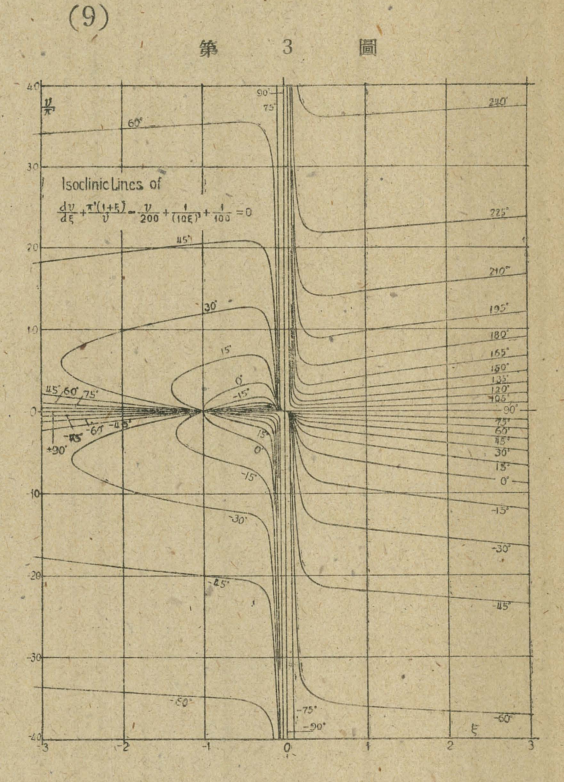
$$\alpha = \frac{\alpha T_S}{m x_1^3}, \qquad \beta = \frac{c_1 T_S}{m}, \qquad \gamma = \frac{c_2 x_1}{m} < 0, \qquad \nu = \frac{\lambda}{1 - \lambda},$$
(8)

と置くと(7)式は

$$\frac{dv}{d\xi} + \gamma v + \beta + \frac{a}{\xi^3} + \frac{\varkappa(\xi + \nu)}{v} = 0$$

となる。これに對する條件は  $X=X_1$  で  $\dot{X}=0$  即 5=1 で v=0 であり、また  $\xi=0$  で 當然 v=0 となるべき筈である。

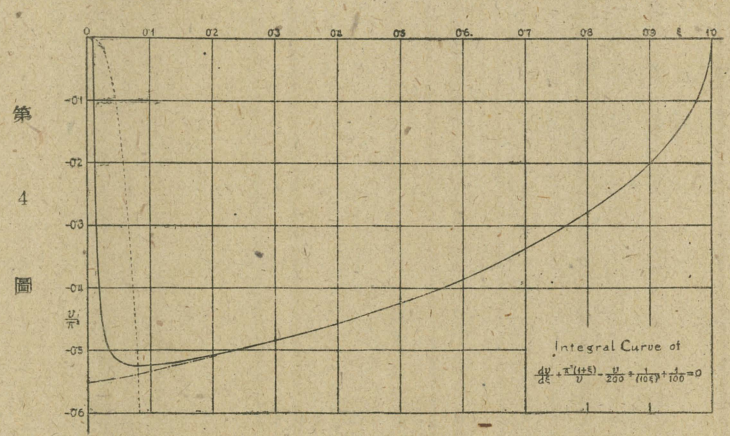
本問題の解として入用であるのは 5>0, v<0 即ち第4象限内であるが、 この非線形方程式は稍々特別の形をし てゐるからその性質を明かにするため 試みに次の數値を用ひ全象限に就いて 等傾曲線を畫いて見た、これを第3圖 に示す。



$$m = 200 \text{gram}, \quad \alpha = 10^{-3}, \quad \beta = 10^{-2}, \quad \gamma = 2 \times 10^{-2}, \quad \alpha = \pi^2$$

$$x_1 = 1 \text{cm}, \quad \lambda = 0.5, \quad \nu = 1, \quad T_S = 2 \times 10^{-2} \text{sec.}, \quad \alpha = 10.$$
(10)

以上の數値を使用し $\xi=1$ , v=0 の條件で(9)の積分曲線を更に精密に圖上で求めた。これを第4圖に實線で示す。



以上は一例としての數値解であるが更に一般的に條件  $(x)_{x=x_1}=0$  即ち $\xi=1, v=0$  の附近で (9) の積分を求める.

先づ 
$$\hat{\varepsilon} = 1 + \sum_{n=2}^{\infty} a_n v^n$$
, とし從つて  $\hat{\varepsilon}^3 = 1 + \sum_{n=2}^{\infty} c_n v^n$ , (11)

として、これらの係數  $a_n$ 、 $c_n$ 、 $b_n$  は上式及び次の關係式で表される

$$a_{n+2} = \frac{-(1-\lambda)}{\pi^{2}(n+2)} \left\{ a(n+1)a_{n+1} + \beta \sum_{s=2}^{n+1} sa_{s}c_{n+1-s} + \gamma \sum_{s=2}^{n} sa_{s}c_{n-s} + \pi^{2} \sum_{s=2}^{n} sa_{s} \left( \frac{\lambda}{1-\lambda} c_{n+2-s} + b_{n+2-s} \right) + c_{n} \right\};$$
(12)

但し  $a_0=b_0=c_0=1$ ,  $a_1=b_1=c_1=0$ ,  $a_2=\frac{-(1-\lambda)}{2\pi^2}$ ,  $a_3=\frac{(1-\lambda)^2(\alpha+\beta)}{3\pi^4}$ . 初めの數項を書くと

$$\frac{2(1-\lambda)(1-\hat{\xi})}{\pi^{2}} = V^{2} + \frac{2}{3} (\alpha+\beta)V^{3} + \left\{\frac{1}{2} (\alpha+\beta)^{2} - \frac{\pi^{2}}{2} \left(\frac{\gamma}{1-\lambda} - \frac{1}{2}\right)\right\} V^{4} \\
+ \left\{\frac{2}{5} (\alpha+\beta)^{3} + \frac{8\pi^{2}}{15} (\alpha+\beta) + \frac{3\pi^{2}\alpha}{5(1-\lambda)} - \frac{4\pi^{2}(\alpha+\beta)\gamma}{5(1-\lambda)}\right\} V^{5} \\
+ \left\{\frac{1}{3} (\alpha+\beta)^{4} + \frac{29\pi^{2}}{36} (\alpha+\beta)^{2} + \frac{4\pi^{2}}{3(1-\lambda)} a(\alpha-\beta) + \frac{\pi^{2}}{1-\lambda} (\alpha+\beta)^{2}\gamma + \pi^{4} \left(\frac{\gamma^{2}}{3(1-\lambda)^{2}} - \frac{5\gamma}{12(1-\lambda)} + \frac{1}{8}\right)\right\} V^{6} + \cdots (13)$$

或は逆に

$$-\frac{(1-\lambda)\nu}{\pi^{2}} = \zeta - \frac{1}{3} (\alpha+\beta)\zeta^{2} + \left\{ \frac{1}{36} (\alpha+\beta)^{2} + \frac{\pi^{2}\gamma}{4(1-\lambda)} - \frac{\pi^{2}}{8} \right\} \zeta^{3}$$

$$+ \left\{ \frac{1}{270} (\alpha+\beta)^{3} - \frac{3\pi^{2}\alpha}{10(1-\lambda)} - \frac{\pi^{2}}{10} \left( \frac{\gamma}{1-\lambda} + \frac{1}{6} \right) (\alpha+\beta) \right\} \zeta^{4}$$

$$+ \left\{ \frac{1}{4320} (\alpha+\beta)^{4} + \frac{\pi^{2}}{30(1-\lambda)} \alpha(\alpha+\beta) + \frac{\pi^{2}}{240} \left( \frac{\gamma}{1-\lambda} + \frac{1}{6} \right) (\alpha+\beta)^{2} + \frac{\pi^{4}}{32} \left( \frac{5\gamma^{2}}{3(1-\lambda)^{2}} - \frac{\gamma}{3(1-\lambda)} - \frac{1}{4} \right) \right\} \zeta^{5}$$

$$+ \cdots \qquad (14)$$

上式で 
$$V = -\frac{(1-\lambda)v}{\pi^2}$$
,  $\zeta = \frac{1}{\pi}\sqrt{2(1-\lambda)(1-\xi)}$ .

上記の級數は何れも原點附近は不適當であるから原點附近迄進むために新に $\xi=\xi_1$ ,  $v=v_1$  附近の解を求める. 但し  $(\xi_1,v_1)$  は  $\frac{dv}{d\xi_1}=0$  即ち (9) 式にて

$$\frac{\pi^2}{v}(\xi+\nu) + \gamma v + \beta + \frac{\alpha}{\xi^3} = 0 \tag{15}$$

の線上にある點とする.

(9) 式のときと同樣 (10) の數値を使つて計算した曲線 (15) を第 4 圖に破線で示した. 即ち  $(v_1, \xi_1)$  は  $\xi=1, v=0$  の條件による曲線 (13) 或は (14) と曲線 (15) との交點で與へられる.

以上の計算で << に對する (9) の積分は

$$\xi - \xi_1 = \eta, \quad v - v_1 = u = \frac{1}{2!} u_0'' \eta^2 + \frac{1}{3!} u_0''' \eta^3 + \frac{1}{4!} u'''' \eta^4 + \cdots, \tag{16}$$

但し、
$$u_0'' = -\frac{\pi^2}{v_1} + \frac{3!a}{2\xi_1^4}$$
,
$$u_0''' = \left(\frac{h}{v_1^2} - \gamma\right)u_0'' - \frac{4!a}{2\xi_1^6}, \qquad h = \pi^2(\xi_1 + \nu),$$

$$u_0^{IV} = \left(\frac{h}{v_1^2} - \gamma\right)u_0''' + \frac{3\pi^2}{x_1^2}u_0''' + \frac{5!a}{2\xi_1^6},$$

$$u_0^{V} = \left(\frac{h}{v_1^2} - \gamma\right)u_0^{IV} + \frac{4\pi^2}{v_1^2}u_0''' - \frac{6h}{v_1^3}u_0''^2 - \frac{6!a}{2\xi_1^7},$$

$$u_0^{VI} = \left(\frac{h}{v_1^2} - \gamma\right)u_0^{V} + \frac{5\pi^2}{v_1^2}u_0^{IV} - \frac{20h}{v_1^3}u_0'' u_0''' - \frac{30\pi^2}{v_1^3}u_0''^2 + \frac{7!a}{2\xi_1^8},$$

(10) に示した**數値**を用ひ(13) 或は(14), 及び(16) で計算した結果は第4圖の圖式に得た曲線と 0<<<0.01 の範圍で全く一致してゐる.

#### 5. 結 論

比較のため a=0 即ち間隙に起る抵抗 R のないときの運動第 4 圖に鎖線を以て記入した。この場合は運動體 A が固定體 B に  $v=0.55\pi^2$  (速度  $\dot{X}=x_1v/T_S$ ) で衝突するから v=0 になるまでに當然彈性振動を起すであらう。然し第 4 圖を見ると流體中にて物體が衝突するときは其間隙に於て粘流體の影響は著しく大きいことが分り,且

つ豫想される通り此の影響は物體相互が極めて接近したときから始まることが分る。 衝突面に於ては更に考慮すべき種々の現象があるが、この計算は(10)に示した數 値を使つた 例に過ぎないし、また基礎方程式も嚴密な假定を用ひたものでないから あまり數量的の結論に立入らないことにして本論を終る次第である。